

# Широков Н. Е., Ярославская Е. И., Криночкин Д. В., Осокина Н. А.

Тюменский кардиологический научный центр,

ФГБНУ «Томский национальный исследовательский медицинский центр» РАН, Томск, Россия

# Скрытая систолическая дисфункция правого желудочка у пациентов с повышением легочного сосудистого сопротивления через 3 мес после COVID-19-пневмонии

Цель Изучение взаимосвязи эхокардиографических структурно-функциональных параметров правого

желудочка  $(\Pi \mathbb{X})$  с показателями легочного сосудистого сопротивления  $(\Lambda CC)$  у пациентов через

3 мес после COVID-19-пневмонии.

Материал и методы В одномоментное обсервационное исследование были включены 96 пациентов (средний возраст

 $46,7\pm15,2\,$ года). Критерии включения: документированный диагноз COVID-19-ассоциированной пневмонии, желание пациента участвовать в наблюдении. Пациенты были обследованы во время госпитализации и на контрольном визите (через 3 мес после выписки). Обработка изображений и кинопетель, в том числе оценка продольной деформации (longitudinal strain, LS) миокарда при помощи метода отслеживания пятна (speckle tracking), осуществлялась в соответствии с действующими рекомендациями. Уравнение [скорость трикуспидальной регургитации/интеграл линейной скорости потока в выводном тракте  $\Pi X \times 10+0,16$ ] использовали для определения  $\Lambda CC$ . Пациенты были разделены на группы:

1-я группа (n=31) – с повышением  $\Lambda$ CC ≥ 1,5 единиц Вуда, 2-я группа (n=65) –  $\Lambda$ CC <1,5 единиц Вуда.

Результаты Исходно между группами не выявлено различий по основным клинико-функциональным характе-

ристикам, включая тяжесть поражения легких по данным компьютерной томографии (32,7 $\pm$ 22,1 и 36,5 $\pm$ 20,4% соответственно; p=0,418). Линейные, планиметрические и объемные параметры, по данным эхокардиографии, между группами статистически значимо не различались. В 1-й группе на контрольном визите эндокардиальная LS свободной стенки ПЖ (right ventricle free wall, RV FW; -19,3 [-17,9; -25,8]%) была статистически значимо ниже (p=0,048), чем во 2-й группе (-23,4 [-19,8; -27,8]%), а систолическое давление в легочной артерии  $-\Lambda$ A (systolic pulmonary artery pressure, sPAP) по С. Otto (32,0 [26,0; 35,0] ммрт. ст. и 23,0 [20,0; 28,0] ммрт. ст.) - статистически значимо выше, чем во 2-й группе (p<0,001). По данным логистического регрессионного анализа, только эндокардиальная RV FW LS (отношение шансов - OШ 0,859; 95% доверительный интервал - ДИ 0,746-0,989; p=0,034) и sPAP (ОШ 1,248; 95% ДИ 1,108-1405; p<0,001) показали независимую связь с повышением  $\Lambda$ CC. Согласно корреляционному анализу Спирмена, выявлена связь средней силы между  $\Lambda$ CC и средним давлением в  $\Lambda$ A по G. Mahan (r=0,516; p=0,003),  $\Lambda$ CC и показателем функциональной

Заключение У лиц, перенесших 3 мес назад COVID-19-пневмонию, скрытая правожелудочковая систоличе-

ская дисфункция, определенная как угнетение эндокардиальной RV FW LS до -19,3%, ассоции-

связи правых отделов сердца с системой  $\Lambda\Lambda$  (r=-0,509; p=0,007) в 1-й группе на контрольном визите.

рована с повышением ΛСС ≥1,5 единиц Вуда.

Ключевые слова COVID-19; пневмония; легочное сосудистое сопротивление; правый желудочек; эхокардиогра-

фия; глобальная продольная деформация

Для цитирования Shirokov N.E., Yaroslavskaya E.I., Krinochkin D.V., Osokina N.A. Hidden systolic dysfunction of the right

ventricle in patients with increased pulmonary vascular resistance 3 months after COVID-19 pneumonia. Kardiologiia. 2022;62(3):16–20. [Russian: Широков Н.Е., Ярославская Е.И., Криночкин Д.В., Осокина Н.А. Скрытая систолическая дисфункция правого желудочка у пациентов с повышением легочного сосудистого сопротивления через 3 мес после COVID-19-пневмонии. Кардиология.

2022;62(3):16-20]

Автор для переписки Широков Никита Евгеньевич. E-mail: shirokov.ne@mail.ru

#### Введение

Рефлекс Эйлера—Лильестранда (гипоксическая легочная вазоконстрикция, hypoxic pulmonary vasoconstriction, HPV) – гомеостатическая реакция, при которой в ответ на альвеолярную гипоксию происходит спазм внутрилегочных артерий. Так достигается оптимизация вентиляционно-перфузионного соотношения (VA/Q) посред-

ством отведения крови к более насыщенным кислородом сегментам легких [1]. Согласно L. Gattinoni и соавт. [2], одним из критериев пневмонии тяжелой степени (фенотип H, high), вызванной COVID-19 (COronaVIrus Disease-2019,) является HPV. При этом для фенотипа L характерно низкое отношение VA/Q, что описывается как угнетение его регуляции ввиду потери HPV.

# **О**РИГИНАЛЬНЫЕ СТАТЬИ

Легочная гипертензия (ЛГ) у пациентов с COVID-19 связана с более высокой летальностью [3]. Следует отметить, что К.В. Ulett и соавт. [4] описали реклассификацию ЛГ при оценке у 578 пациентов с ЛГ в анамнезе: 58% пациентов имели систолическое давление в легочной артерии − ЛА (systolic pulmonary artery pressure, sPAP) >35 мм рт. ст., но после нормализации показателя по полу и возрасту ЛГ диагностирована только в 36% случаев. При этом повышение легочного сосудистого сопротивления (ЛСС) ≥2 единиц Вуда было обнаружено у 31% пациентов. Кроме того, у 6% пациентов с sPAP ≤35 мм рт. ст. была выявлена ЛГ при оценке ЛСС [4].

С учетом данных о грубой корреляции между оценкой  $\Lambda$ СС по результатам эхокардиографии (ЭхоКГ) и катетеризации правых отделов сердца представляется актуальным использовать этот показатель у больных COVID-19 в контексте исследования HPV [5, 6].

Необходимо указать, что дисфункция правого желудочка (ПЖ) у больных COVID-19 ассоциирована со смертностью от всех причин [7]. При этом показатели деформации обоих желудочков, по данным S. Bieber и соавт. [8], улучшаются через 2 мес после перенесенного заболевания.

#### Цель

Исследовать взаимосвязь эхокардиографических структурно-функциональных параметров ПЖ с ЛСС у пациентов через 3 мес после COVID-19-пневмонии.

#### Материалы и методы

В одномоментное обсервационное исследование были включены 96 пациентов с высоким качеством визуали-

зации при ЭхоКГ, перенесших COVID-19-пневмонию, через 3 мес после получения двух отрицательных результатов теста полимеразной цепной реакции (45,8% мужчин, средний возраст  $46,7\pm15,2$  года). Тяжесть поражения легких определяли в соответствии с данными компьютерной томографии органов грудной клетки (КТ ОГК).

Критерии включения: документированный диагноз COVID-19-ассоциированной пневмонии, желание пациента участвовать в наблюдении.

Критерии исключения: хронические заболевания в стадии обострения, онкологические заболевания давностью менее 5 лет, туберкулез и другие заболевания, сопровождающиеся пневмофиброзом, ВИЧ, пороки сердца, хронические гепатиты.

ЭхоКГ проведена на ультразвуковом диагностическом аппарате экспертного класса Vivid S70 при использовании матричного датчика MSSc-D (1,5–4,6 МГц) с сохранением данных в формате DICOM. Обработку изображений и кинопетель, в том числе оценку продольной деформации (longitudinal strain, LS) миокарда при помощи метода отслеживания пятна (speckle tracking) с включением в анализ всех слоев миокарда, осуществляли на рабочей станции IntelliSpace Cardiovascular, платформе TomTec в соответствии с действующими рекомендациями [9] (рис. 1).

Для оценки sPAP, давления в полости правого предсердия (ПП) использовали метод С. Otto и соавт. (Otto С., 2016.), для оценки среднего диастолического давления в  $\Lambda A$  (mean pulmonary artery pressure, mPAP) – формулу G. Mahan и соавт. [10].Показатель функциональной связи правых отделов сердца и системы  $\Lambda A$  (right ventricle-

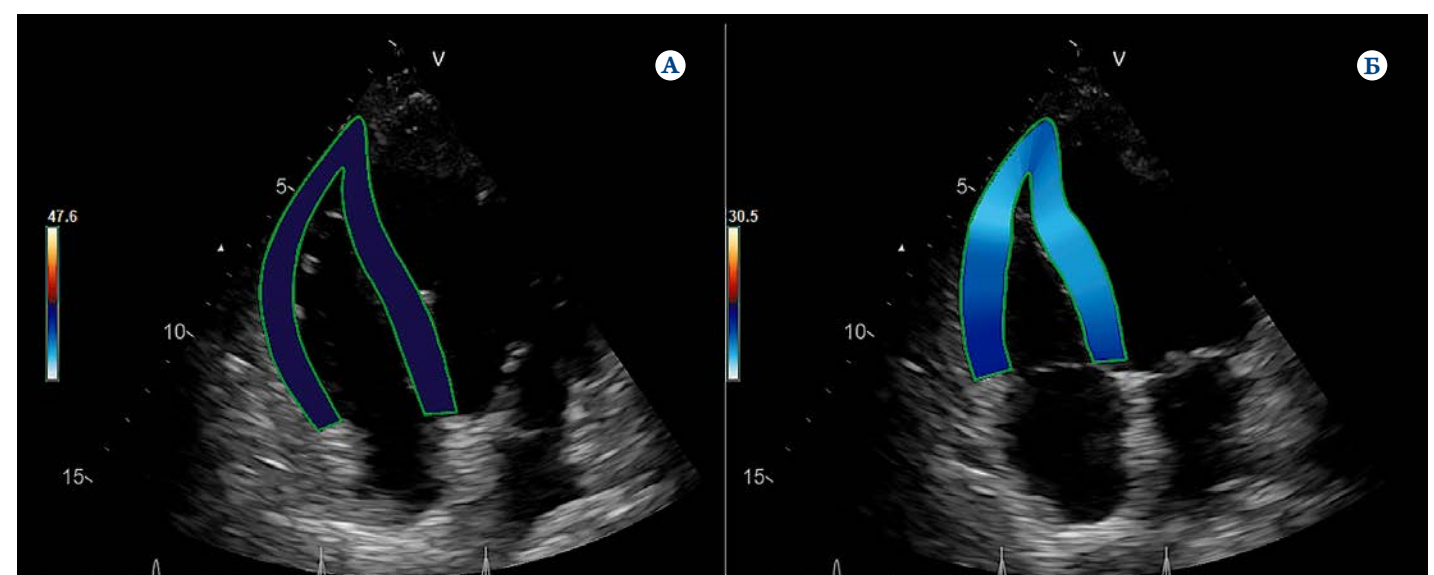


Рисунок 1. Оценка RV FW и LS при помощи метода отслеживания движения пятен (speckle tracking)

A – окончание диастолы ПЖ; B – окончание систолы ПЖ; эндокардиальная RV FW LS –20,3%.

 $RV\ FW$  – свободная стенка правого желудочка (right ventricle free wall);

LS – продольная деформация (longitudinal strain). ПЖ – правый желудочек.



риlmonary artery coupling, RV/PA coupling) определяли как отношение фракционного изменения площади ПЖ (fractional area change, FAC)/sPAP [11]. Для количественной оценки  $\Lambda$ CC вычисляли единицы Вуда по формуле, предложенной А.Е. Abbas и соавт. [12]. Пациенты с  $\Lambda$ CC ≥1,5 единиц Вуда составили 1-ю группу (n=31), пациенты с  $\Lambda$ CC <1,5 единиц Вуда – 2-ю группу (n=65).

Исследование соответствует стандартам надлежащей клинической практики (Good Clinical Practice) и положениям Хельсинкской Декларации. Протокол исследования одобрен локальным этическим комитетом (протокол №159 от 23.07.2020). Информированное согласие получено от всех пациентов, включенных в исследование.

Статистический анализ полученных данных проводили с помощью пакета программ SPSS Statistics 21.0. Для определения вида распределения переменных использован критерий Колмогорова-Смирнова. Для сравнения качественных величин применяли критерий хи-квадрат Пирсона, точный критерий Фишера. При анализе количественных величин в случае их нормального распределения использован критерий t Стьюдента; результаты представлены в виде M±SD (М – среднее арифметическое, SD – среднеквадратичное отклонение). При анализе количественных величин в случае распределения, отличного от нормального, использован критерий Манна-Уитни; результаты представлены в виде медианы и интерквартильного размаха - Ме [25-й процентиль; 75-й процентиль]. Для определения выраженности связей проведен корреляционный анализ Спирмена. В целях выявления независимой связи ЛСС с функциональными характеристиками ПЖ использовали логистический регрессионный анализ с применением метода принудительного включения. Результаты анализа представлены в виде отношения шансов (ОШ) и его 95% доверительного интервала (ДИ). За уровень статистической значимости различий переменных принимали двустороннее значение p<0,05.

#### Результаты

На контрольном визите группы были сопоставимы по основным клиническим и функциональным характеристикам (табл. 1). У большинства пациентов обеих групп наблюдалось полное восстановление легких по данным КТ ОГК, у 3 пациентов каждой группы выявлено остаточное поражение легких, статистически значимых межгрупповых различий не найдено  $(6,0\pm4,0$  и  $4,3\pm1,5\%$  соответственно; p=0,537). У остальных обнаружены единичные локальные очаги фиброза, кальцинаты размером до 5 мм. Исходно также не выявлено достоверных различий по выраженности поражения легких  $(32,7\pm22,1$  и  $36,5\pm20,4\%$  соответственно; p=0,418).

На контрольном визите статистически значимых различий по морфологическим характеристикам ПЖ между группами не обнаружено (табл. 2).

**Таблица 1.** Клинико-функциональная характеристика пациентов на контрольном визите

Показатель	1-я группа (n=31)	2-я группа (n=65)	p
Пол мужской, %	58,1	39,7	0,124
Возраст, годы	50,3±18,1	46,2±13,7	0,248
ИМТ, кг/м²	27,4±5,1	28,7±5,8	0,279
ИБС, %	3,2	4,6	1,000
АГ, %	54,8	46,2	0,514
HPC, %	16,1	9,2	0,326
ФК ХСН по NYHA, %			
I	19,4	15,4	
II	6,5	4,6	0,232
III	12,9	3,1	
СД, %	9,7	7,7	0,710
ФВ ЛЖ, %	65,7±6,5	68,0±5,4	0,071
GLS, %	-20,5±3,2	-20,2±2,0	0,605
Полное восстановление легких по данным КТ ОГК, %	58,6	58,3	1,000

ИМТ – индекс массы тела; ИБС – ишемическая болезнь сердца;  $A\Gamma$  – артериальная гипертония; HPC – нарушения ритма сердца;  $\Phi$ K – функциональный класс; XCH – хроническая сердечная недостаточность; NYHA – Нью-Йоркская ассоциация сердца, New York Heart Association;  $C\Delta$  – сахарный диабет;  $\Phi$ B  $\Lambda X$  – фракция выброса левого желудочка; GLS – global longitudinal strain; KT  $O\Gamma K$  – компьютерная томография органов грудной клетки.

На контрольном визите эндокардиальная LS свободной стенки ПЖ (right ventricle free wall, RV FW), эндокардиальная LS среднего сегмента RV FW, систолическая экскурсия кольца трикуспидального клапана – ТК (tricuspid annular plane systolic excursion, TAPSE), пиковая систолическая скорость кольца ТК и пиковая ранняя диастолическая скорость кольца ТК были статистически значимо меньше в 1-й группе. Систолическое давление в ЛА по С. Otto и соавт. было статистически значимо выше в 1-й группе (табл. 3).

Не выявлено статистически значимых различий между группами при оценке миокардиальной LS ПЖ  $(-19,2\pm5,4~\mathrm{u}~-19,8\pm4,1\%$  соответственно; p=0,891) и эндокардиальной LS ПЖ  $(-19,9\pm5,4~\mathrm{u}~-21,3\pm4,0\%$  соответственно; p=0,407).

При корреляционном анализе Спирмена выявлены средней силы связи между  $\Lambda$ CC и mPAP по G. Mahan (r=0,516; p=0,003),  $\Lambda$ CC и RV/PA coupling (r=-0,509; p=0,007) в 1-й группе.

По данным логистического регрессионного анализа, в исходной совокупности переменных, характеризующих функциональный статус ПЖ и связь правых отделов сердца с системой  $\Lambda A$  (эндокардиальная RV FW LS, TAPSE, пиковая систолическая и ранняя диастолическая скорости кольца ТК, FAC, mPAP, sPAP, RV/PA coupling), только RV FW LS (ОШ 0,859; 95%  $\Delta M$  0,746−0,989; p=0,034) и sPAP (ОШ 1,248; 95%  $\Delta M$  1,108−1405; p<0,001) имели независимую связь с  $\Lambda CC \geq 1$ ,5 единиц Вуда.



**Таблица 2.** Морфологическая характеристика правого желудочка на контрольном визите

Показатель	1-я группа (n=31)	2-я группа (n=65)	p
Переднезадний размер ПЖ, мм	24,9±3,0	25,2±3,4	0,666
Толщина свободной стенки ПЖ, мм	4,1±0,9	3,9±0,8	0,186
Проксимальный размер ПЖ, мм	27,8±2,6	28,0±2,9	0,696
Базальный размер ПЖ, мм	20,7±2,7	21,1±2,7	0,572
Размер ствола ЛА, мм	18,8±2,5	18,3±2,0	0,244
Диастолическая площадь ПЖ, см²	14,3±4,4	15,9±4,1	0,088
Систолическая $\Pi M$ , $c M^2$	7,0±2,1	7,5±2,9	0,355
Длина ПЖ, мм	65,6±13,4	65,6±17,4	0,996
Поперечный средний размер ПЖ, мм	25,7±5,0	25,1±6,9	0,648
Поперечный базальный размер ПЖ, мм	29,7±5,6	30,1±6,6	0,805
Продольный размер ПП, мм	49,0±6,1	47,9±6,1	0,401
Поперечный размер ПП, мм	35,6±5,0	33,8±4,8	0,095
Объем ПП, мл	34,1±11,4	30,0±9,6	0,064
НПВ в покое, мм	17,2±4,2	17,6±3,8	0,629
НПВ на вдохе, мм	8,8±3,1	8,2±3,0	0,348
Эпикардиальный жир, мм	7,3±1,4	7,3±1,8	0,933

 $\Pi X$  – правый желудочек;  $\Lambda A$  – легочная артерия;  $\Pi \Pi$  – правое предсердие;  $H\Pi B$  – нижняя полая вена.

### Обсуждение

В соответствии с рекомендациями Европейского общества кардиологов и Европейского респираторного общества,  $\Lambda$ CC >3 единиц Вуда используется как часть гемодинамического определения термина  $\Lambda$ Г [13]. Существуют работы, в которых авторы считают достаточным для определения  $\Lambda$ Г значения  $\Lambda$ CC  $\geq$ 2 единиц Вуда [4]. При этом R. Farzaneh-Far и соавт. [14] определили  $\Lambda$ CC менее 1,5 единиц Вуда как нормальное.

В работе D. Medvedofsky и соавт. [15] маркером систолической дисфункции ПЖ считалось значение эндокардиальной RV FW LS менее −22%. У пациентов, перенесших COVID-19, угнетение эндокардиальной RV LS ≤ −23% ассоциировано с более высокой смертностью [16]. Ранее выявлено, что многие показатели функционального статуса ПЖ (TAPSE, RV S', RV FWS LS) у пациентов с COVID-19 и острым респираторным дистресс-синдромом остаются в рамках нормы. Кроме того, отмечено, что RV FW LS – не такой чувствительный маркер дисфункции ПЖ, как RV FAC [11].

Согласно результатам нашей работы, большинство показателей, характеризующих функциональный статус ПЖ, были статистически значимо меньше у пациентов с  $\Lambda$ CC  $\geq$ 1,5 единиц Вуда. При этом только эндокардиальная RV FW LS в 1-й группе была единственным

**Таблица 3.** Функциональная характеристика правого желудочка (контрольный визит)

Показатель	1-я группа (n=31)	2-я группа (n=65)	p
Ускорение потока ВТ ПЖ, м/с	112,8±23,4	115,5±20,9	0,579
TVI потока ВТ ПЖ, мм	14,4 [12,6; 15,6]	20,4 [18,4; 21,7]	<0,001
ЛСС, единиц Вуда	1,8 [1,6; 2,0]	1,2 [1,0; 1,3]	<0,001
Скорость ТР, м/с	2,3 [2,2; 2,5]	2,0 [1,8;2,2]	<0,001
Градиент ТР, мм рт. ст.	22,0 [18,0; 25,0]	15,0 [12,0; 20,0]	<0,001
FAC, %	50,0 [44,4; 54,8]	53,7 [47,0; 59,4]	0,102
TAPSE, MM	21,7±3,8	23,3±3,4	0,040
RV S', cm/c	12,3±2,4	13,4±2,0	0,024
RV E', cm/c	8,0 [7,0; 11,0]	11,0 [9,0; 14,0]	0,002
Инспираторный коллапс НПВ, %	64,3	80,0	0,123
Давление в ПП по С. Otto, мм рт. ст.	8,8±3,3	7,9±3,2	0,247
sPAP по C. Otto, мм рт. ст.	32,0 [26,0; 35,0]	23,0 [20,0; 28,0]	<0,001
mPAP по G. Mahan, мм рт. ст.	28,2±10,5	27,0±9,4	0,579
RV/PA coupling	1,6 [1,4; 1,8]	2,2 [1,9; 2,9]	<0,001

#### Продольная эндокардиальная деформация свободной стенки ПЖ

Базальный сегмент, %	-27,3±6,4	-28,3±6,2	0,476
Средний сегмент, %	-21,9±7,1	-25,5±6,8	0,028
Апикальный сегмент, %	-20,8±9,0	-23,5±7,1	0,142
RV FW, %	-19,3 [-17,9; -25,8]	-23,4 [-19,8; -27,8]	0,048

ВТ ПЖ – выводной тракт правого желудочка; TVI – интеграл линейной скорости кровотока (time velocity integral);  $\Lambda CC$  – легочное сосудистое сопротивление; ТР - трикуспидальная регургитация; FAC - фракционное изменение площади правого желудочка (fractional area change); TAPSE - систолическая экскурсия кольца трикуспидального клапана (tricuspid annular plane systolic excursion); RV S' - пиковая систолическая скорость кольца трикуспидального клапана (right ventricular velocity, tissue Doppler imaging, peak s'), RV E' – ранняя диастолическая скорость кольца трикуспидального клапана (right ventricular velocity, tissue Doppler imaging, peak e'); НПВ – нижняя полая вена; ПП – правое предсердие; sPAP - систолическое давление в легочной артерии (systolic pulmonary artery pressure); mPAP – среднее диастолическое давление в легочной артерии (mean pulmonary artery pressure); RV/PA coupling – функциональная связь правых отделов сердца и системы легочной артерии (right ventricle-pulmonary artery coupling); RV FW – свободная стенка правого желудочка (right ventricle free wall).

параметром, который оказался ниже предполагаемой нормы. Обращает внимание, что в рамках референсных значений оставался также sPAP. При оценке региональной сократимости только эндокардиальная LS среднего сегмента RV FW была угнетена в 1-й группе. Необходимо отметить, что группы были сопоставимы по тяжести поражения легких по данным КТ ОГК как исходно, так и на контрольном визите.

В исследовании С. Bleakley и соавт. [11] продемонстрирована корреляция между  $\Lambda$ CC и RV/PA coupling у пациентов с COVID-19 и острым респираторным дис-



тресс-синдромом. Нами также найдены умеренные связи между  $\Lambda$ CC и RV/PA coupling, mPAP по G. Маһап в группе с  $\Lambda$ CC  $\geq$ 1,5 единиц Вуда. Вероятно, выявлена связь между угнетением функции ПЖ, признаками  $\Lambda$ Г и разобщением связи правых отделов сердца с системой  $\Lambda$ A у пациентов с  $\Lambda$ CC  $\geq$ 1,5 единиц Вуда через 3 мес после COVID-19-пневмонии.

Согласно Redox-теории реализации HPV, подавление  $O_2$ -чувствительных Kv-каналов деполяризует глад-комышечные клетки  $\Lambda A$ , активируя потенциалзависимые кальциевые каналы, вызывая вазоконстрикцию [17]. S. L. Archer и соавт. [18] предполагают, что блокаторы кальциевых каналов (БКК) будут усугублять гипоксемию при COVID-19-пневмонии. В то же время, есть данные об ассоциации применения амлодипина с более низкой смертностью у пациентов с COVID-19

и артериальной гипертонией как единственной сопутствующей патологией, а также у пациентов старческого возраста [19, 20]. Поэтому представляется актуальным исследовать применение БКК у пациентов с повышением ЛСС.

#### Заключение

У лиц, перенесших 3 мес назад COVID-19-пневмонию, скрытая правожелудочковая систолическая дисфункция, определенная как угнетение эндокардиальной RV FW LS до −19,3%, ассоциирована с повышением легочного сосудистого сопротивления ≥1,5 единиц Вуда.

Конфликт интересов не заявлен.

Статья поступила 29.06.2021

## СПИСОК ЛИТЕРАТУРЫ

- Dunham-Snary KJ, Wu D, Sykes EA, Thakrar A, Parlow LRG, Mewburn JD et al. Hypoxic Pulmonary Vasoconstriction: From Molecular Mechanisms to Medicine. Chest. 2017;151(1):181–92. DOI: 10.1016/j.chest.2016.09.001
- Gattinoni L, Chiumello D, Caironi P, Busana M, Romitti F, Brazzi L et al. COVID-19 pneumonia: different respiratory treatments for different phenotypes? Intensive Care Medicine. 2020;46(6):1099–102. DOI: 10.1007/s00134-020-06033-2
- 3. Pagnesi M, Baldetti L, Beneduce A, Calvo F, Gramegna M, Pazzanese V et al. Pulmonary hypertension and right ventricular involvement in hospitalised patients with COVID-19. Heart. 2020;106(17):1324–31. DOI: 10.1136/heartjnl-2020-317355
- Ulett KB, Marwick TH. Incorporation of Pulmonary Vascular Resistance Measurement into Standard Echocardiography: Implications for Assessment of Pulmonary Hypertension. Echocardiography. 2007;24(10):1020–2. DOI: 10.1111/j.1540-8175.2007.00539.x
- Abbas AE, Fortuin FD, Schiller NB, Appleton CP, Moreno CA, Lester SJ. A simple method for noninvasive estimation of pulmonary vascular resistance. Journal of the American College of Cardiology. 2003;41(6):1021–7. DOI: 10.1016/S0735-1097(02)02973-X
- Rajagopalan N, Simon MA, Suffoletto MS, Shah H, Edelman K, Mathier MA et al. Noninvasive Estimation of Pulmonary Vascular Resistance in Pulmonary Hypertension. Echocardiography. 2009;26(5):489–94. DOI: 10.1111/j.1540-8175.2008.00837.x
- Moody WE, Mahmoud-Elsayed HM, Senior J, Gul U, Khan-Kheil AM, Horne S et al. Impact of Right Ventricular Dysfunction on Mortality in Patients Hospitalized With COVID-19, According to Race. CJC Open. 2021;3(1):91–100. DOI: 10.1016/j.cjco.2020.09.016
- Bieber S, Kraechan A, Hellmuth JC, Muenchhoff M, Scherer C, Schroeder I et al. Left and right ventricular dysfunction in patients with CO-VID-19-associated myocardial injury. Infection. 2021;49(3):491–500. DOI: 10.1007/s15010-020-01572-8
- Lang RM, Badano LP, Mor-Avi V, Afilalo J, Armstrong A, Ernande L et al. Recommendations for Cardiac Chamber Quantification by Echocardiography in Adults: An Update from the American Society of Echocardiography and the European Association of Cardiovascular Imaging. European Heart Journal – Cardiovascular Imaging. 2015;16(3):233–71. DOI: 10.1093/ehjci/jev014
- Dabestani A, Mahan GD, Gardin JM, Takenaka K, Burn CS, Allfie A, Henry WL. Evaluation of pulmonary artery pressure and resistance by pulsed Doppler echocardiography. The American journal of cardiology. 1987; 59(6): 662-8. DOI: 10.1016/0002-9149(87)91189-1Bleakley C, Singh S, Garfield B, Morosin M, Surkova E, Mandalia MS et al. Right ven-

- tricular dysfunction in critically ill COVID-19 ARDS. International Journal of Cardiology. 2021;327:251–8. DOI: 10.1016/j.ijcard.2020.11.043
- Abbas AE, Franey LM, Marwick T, Maeder MT, Kaye DM, Vlahos AP et al. Noninvasive Assessment of Pulmonary Vascular Resistance by Doppler Echocardiography. Journal of the American Society of Echocardiography. 2013;26(10):1170–7. DOI: 10.1016/j.echo.2013.06.003
- 12. Galiè N, Humbert M, Vachiery J-L, Gibbs S, Lang I, Torbicki A et al. 2015 ESC/ERS Guidelines for the diagnosis and treatment of pulmonary hypertension: The Joint Task Force for the Diagnosis and Treatment of Pulmonary Hypertension of the European Society of Cardiology (ESC) and the European Respiratory Society (ERS): Endorsed by: Association for European Paediatric and Congenital Cardiology (AEPC), International Society for Heart and Lung Transplantation (ISHLT). European Heart Journal. 2016;37(1):67–119. DOI: 10.1093/eurheartj/ehv317
- Farzaneh-Far R, McKeown BH, Dang D, Roberts J, Schiller NB, Foster E. Accuracy of Doppler-Estimated Pulmonary Vascular Resistance in Patients Before Liver Transplantation. The American Journal of Cardiology. 2008;101(2):259–62. DOI: 10.1016/j.amjcard.2007.07.086
- Medvedofsky D, Koifman E, Jarrett H, Miyoshi T, Rogers T, Ben-Dor I et al. Association of Right Ventricular Longitudinal Strain with Mortality in Patients Undergoing Transcatheter Aortic Valve Replacement. Journal of the American Society of Echocardiography. 2020;33(4):452–60. DOI: 10.1016/j.echo.2019.11.014
- Li Y, Li H, Zhu S, Xie Y, Wang B, He L et al. Prognostic Value of Right Ventricular Longitudinal Strain in Patients With COVID-19. JACC Cardiovascular Imaging. 2020;13(11):2287–99. DOI: 10.1016/j.jcmg.2020.04.014
- Moudgil R, Michelakis ED, Archer SL. Hypoxic pulmonary vasoconstriction. Journal of Applied Physiology. 2005;98(1):390–403. DOI: 10.1152/japplphysiol.00733.2004
- Archer SL, Sharp WW, Weir EK. Differentiating COVID-19 Pneumonia From Acute Respiratory Distress Syndrome and High Altitude Pulmonary Edema: Therapeutic Implications. Circulation. 2020;142(2):101–4. DOI: 10.1161/CIRCULATIONAHA.120.047915
- Solaimanzadeh I. Nifedipine and Amlodipine Are Associated With Improved Mortality and Decreased Risk for Intubation and Mechanical Ventilation in Elderly Patients Hospitalized for COVID-19. Cureus. 2020;12(5):e8069. DOI: 10.7759/cureus.8069
- Zhang L-K, Sun Y, Zeng H, Wang Q, Jiang X, Shang W-J et al. Calcium channel blocker amlodipine besylate therapy is associated with reduced case fatality rate of COVID-19 patients with hypertension. Cell Discovery. 2020;6(1):96. DOI: 10.1038/s41421-020-00235-0